

Анализ характеристик теплового двигателя внешнего сгорания методом компьютерного моделирования

к.т.н. доц. Потапов С.И., к.т.н. доц. Никишкин С.И., к.т.н. проф. Пискарев М.Ю.
Ковровская государственная технологическая академия им. В.А. Дегтярева
auto@dksta.ru 8(49232)32062

Аннотация. Разработана математическая модель, которая использована при построении компьютерной модели теплового двигателя внешнего сгорания. На основе компьютерного моделирования установлены основные закономерности функционирования теплового двигателя, выполнен анализ влияния изменения параметров на его характеристики и разработан вариант конструкции двигателя.

Ключевые слова: тепловой двигатель внешнего сгорания, математическое моделирование, компьютерное моделирование

Тепловые двигатели внешнего сгорания являются альтернативным вариантом двигателей внутреннего сгорания (ДВС). К настоящему времени предложено большое разнообразие конструкций двигателей внешнего сгорания, в [1] их предложено обозначать общим термином – двигатели Стирлинга (ДС). ДС широко применяются в различных стационарных объектах, в космосе, на подводных лодках. Они также используются в выпускных трактах тепловых станций и мощных ДВС с целью утилизации тепловой энергии. В последние годы ДС получили применение в автомобилях. Это обусловлено рядом преимуществ этих двигателей: возможность работы от любого внешнего источника тепловой энергии, закрытый рабочий цикл, экологичность, бесшумность и большой ресурс работы.

Объектом анализа данной работы является одна из перспективных схем двигателя: роторно-поршневой двигатель Стирлинга (РПДС) с полым цилиндрическим поршнем (рисунок 1). В роторных двигателях отсутствует механизм преобразования поступательного движения поршня во вращательное движение выходного вала, что упрощает конструкцию и снижает потери энергии в нем.

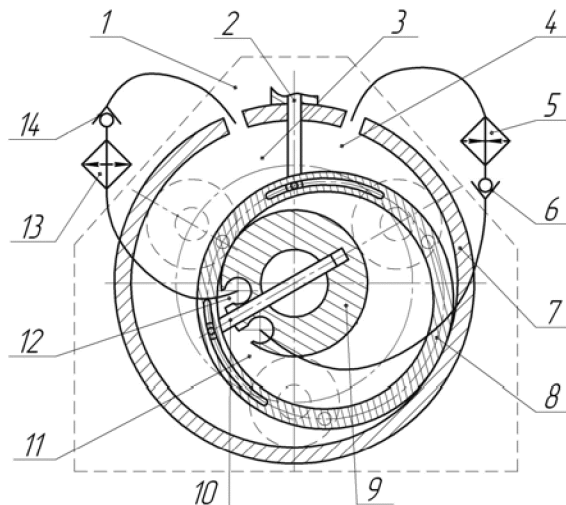


Рисунок 1 – Схема РПДС

РПДС включает объемную роторную машину 1, соединенную с нагревателем 5 и холодильником 13, перед которыми установлены обратные клапаны 6 и 14. Вращающийся цилиндрический поршень 8 совместно с шиберами 2 и 10, движущимися в радиальных направляющих, делит пространство между корпусом 7 и статором 9 на четыре полости переменного объема, в которых происходят процессы, образующие рабочий цикл.

Используя рисунок 1, а также рисунок 2, на котором показаны основные фазы работы РПДС, рассмотрим принцип его действия. Газ с высоким давлением и температурой поступает из нагревателя 5 в рабочую полость 4 (НР), где, расширяясь, совершает работу. Затем этот газ передается в полость 3 (НС) посредством «переключения» полостей, происходящего на участке между фазами 8 и 1. Совершенная работа тратится на вытеснение газа из полости

3 (НС) через холодильник 13 в полость 12 (ВР), а также на сжатие газа в полости 11 (ВС). Оставшаяся работа является полезной и тратится на преодоление нагрузки на выходном валу (он соосен со статором 9), который соединен через шестерни с тремя опорами поршня 8 (показаны пунктиром). «Переключение» внутренних полостей 11 и 12 происходит аналогично, но между фазами 1 и 2 (то есть со сдвигом по фазе по отношению к наружным полостям).

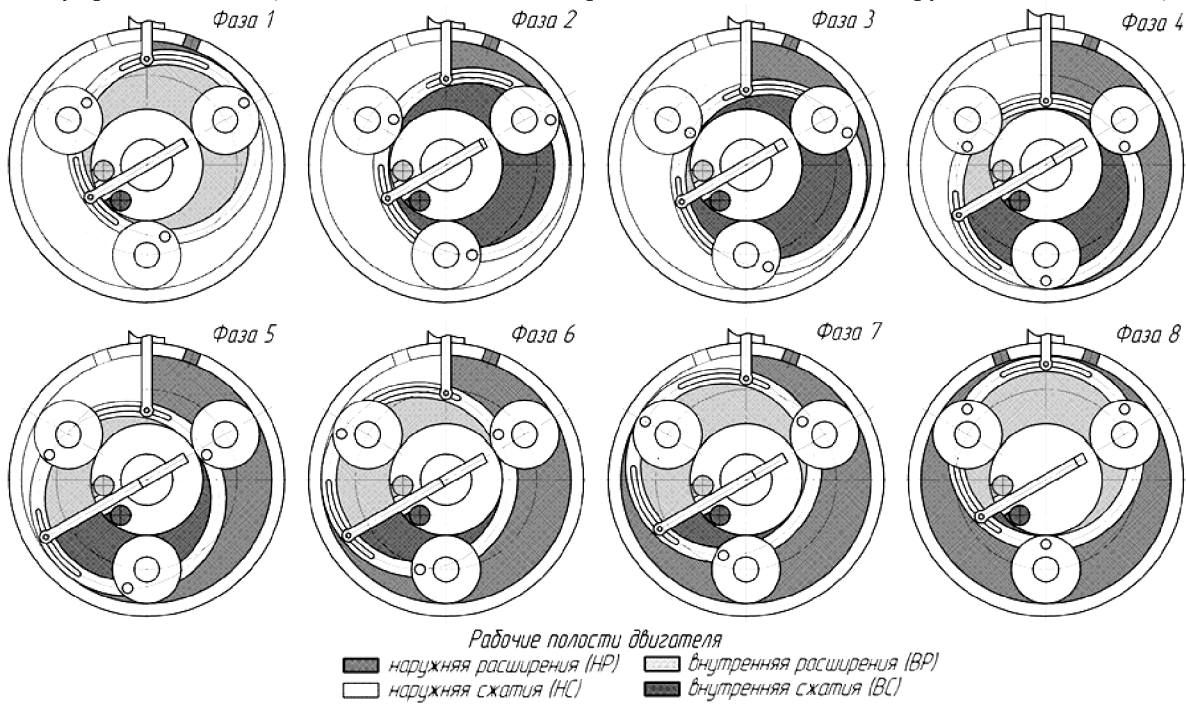


Рисунок 2 – Основные фазы работы РПДС

Анализ принципа действия показывает, что РПДС является сложной технической системой с переменной структурой (переключения полостей, срабатывания клапанов), в которой одновременно протекают взаимосвязанные процессы различной физической природы: механические, тепловые и термогазодинамические. Классические алгебраические методы анализа его характеристик тут не приемлемы, в этом случае в [1, 2] рекомендуется метод непосредственного моделирования рабочих процессов на ЭВМ.

В настоящее время этот метод получил название компьютерного моделирования (КМ), он является «третьей» методологией получения новой информации об объекте анализа, наряду с теорией и практикой [3 - 5]. КМ включает следующие основные этапы: разработка математического, информационного и программного обеспечения; вычислительные эксперименты с целью исследования сущности физических процессов в объекте и определения его рациональных (оптимальных) параметров; проектирование, конструирование и испытания объекта. По результатам испытаний возможно повторение цикла работ, начиная с любого этапа. В соответствии с этой методологией и выполнялись исследования, результаты которых изложены в данной работе.

Разработка математического описания для компьютерного моделирования функционирования двигателя также велась поэтапно. На начальном этапе была разработана классическая математическая модель (ММ), в которой газ предполагался идеальным (см., например, [6]), а теплообмен в нагревателе и холодильнике учитывался в форме вынужденной конвекции (см. [7], С. 98-102). Однако практическая проверка этой модели показала, что решение задачи не всегда устойчиво при малых объемах полостей (а они при переключении полостей близки к нулю). Это обусловлено соизмеримостью массы газа в полости малого объема и массы газа, вытекающей из полости за шаг интегрирования.

Поэтому на втором этапе был разработан упрощенный вариант ММ, который дал хорошее совпадение с классической ММ, но решение было устойчивым и требовало меньших затрат машинного времени. Основное допущение упрощенной ММ заключается в том, что процесс коммутации полостей (объединение или разделение) предполагается происходящим

мгновенно, причем параметры газа в них сразу выравниваются. Это позволяет рассматривать процессы сжатия-расширения газа при его постоянной массе, а при коммутации учитывать изменения объема, массы и энергии в полостях. Таким образом, в упрощенной ММ удалось заменить дифференциальные уравнения законов сохранения массы и энергии в классической ММ типа [6] на более простые термодинамические уравнения, дополняемые учетом влияния теплообмена.

Оба варианта ММ достаточно полно описаны в [8]. Мы ограничимся кратким описанием упрощенной ММ, которая включает подмодели механической, термодинамической и тепловой подсистем.

ММ механической подсистемы базируется на положениях теоретической механики, а также зависимостей для расчета основных характеристик двигателей [9]. Соответствующая расчетная схема показана на рисунке 3.

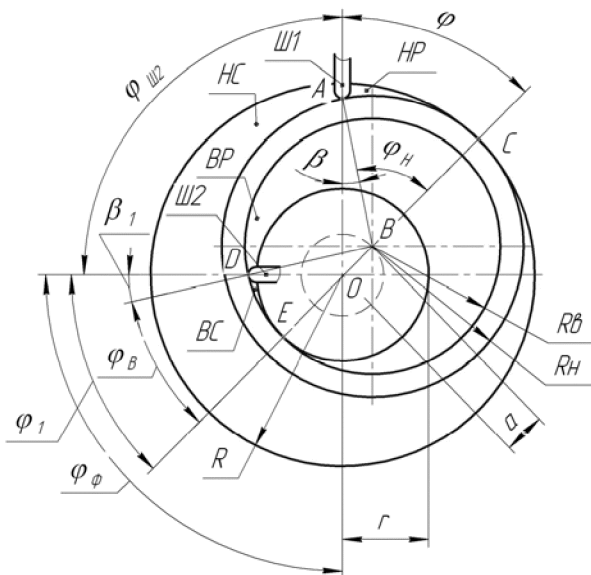


Рисунок 3 – Расчетная схема РПДС

На ее основе получены следующие зависимости.

Относительные объемы наружных полостей расширения и сжатия:

$$\bar{V}_{\text{HP}}(\varphi) = \frac{1}{2\pi} \cdot \left(\varphi - \frac{2 \cdot \bar{a} \cdot \bar{R}_{\text{H}} \cdot \sin \varphi}{1 - \bar{R}_{\text{H}}^2} - \frac{0,5 \cdot \bar{a}^2 \cdot \sin 2\varphi}{1 - \bar{R}_{\text{H}}^2} + \frac{0,5 \cdot \bar{a}^2 \cdot \bar{a}_{\text{H}} \cdot \sin^3 \varphi}{1 - \bar{R}_{\text{H}}^2} \right), \quad \bar{V}_{\text{HC}} = 1 - \bar{V}_{\text{HP}}, \quad (1)$$

где:

$$\bar{V}_{\text{HP}}(\varphi) = V_{\text{HP}}(\varphi)/V_{\text{HPM}}, \quad \bar{V}_{\text{HPM}} = \pi \cdot R^2 \cdot H \cdot \left[1 - \left(\frac{R_{\text{H}}}{R} \right)^2 \right]. \quad (2)$$

Относительные объемы внутренних полостей расширения и сжатия:

$$\bar{V}_{\text{BP}}(\varphi_1) = \frac{1}{2\pi} \cdot \left(\varphi_1 - \frac{2 \cdot \bar{a}_{\text{B}} \cdot \sin \varphi_1}{1 - \bar{r}_{\text{B}}^2} + \frac{0,5 \cdot \bar{a}_{\text{B}}^2 \cdot \sin 2\varphi_1}{1 - \bar{r}_{\text{B}}^2} + \frac{0,5 \cdot \bar{a}_{\text{B}}^3 \cdot \sin^3 \varphi_1}{1 - \bar{r}_{\text{B}}^2} \right), \quad \bar{V}_{\text{BC}} = 1 - \bar{V}_{\text{BP}}, \quad (3)$$

где:

$$\bar{V}_{\text{BP}}(\phi) = V_{\text{BP}}(\phi)/V_{\text{BPM}}, \quad \bar{V}_{\text{BPM}} = \pi \cdot R_{\text{B}}^2 \cdot H \cdot \left[1 - \left(r / R_{\text{B}} \right)^2 \right], \quad (4)$$

$$\phi_1 = \phi + \pi - \phi_{\Pi_2}, \quad \bar{a}_{\text{\tiny B}} = a/R_{\text{\tiny B}}, \quad \bar{r}_{\text{\tiny B}} = r/R_{\text{\tiny B}}, \quad \bar{a} = a/R, \quad \bar{a}_{\text{\tiny H}} = a/R_{\text{\tiny H}}, \quad \bar{R}_{\text{\tiny H}} = R_{\text{\tiny H}}/R. \quad (5)$$

Моменты от сил давления, работа цикла, мощность и КПД

$$M_{\text{ii}} \equiv F_{\text{ii}} : L_{\text{ii}} \equiv q : R_{\text{ii}} : H : Ap_{\text{ii}} : (1 - \cos \varphi_{\text{ii}}), \quad \varphi_{\text{ii}} \equiv \varphi + \bar{q}_{\text{ii}} : \sin \varphi; \quad (6)$$

$$M_{\text{p}} \equiv F_{\text{p}} \cdot L_{\text{p}} \equiv g \cdot R_{\text{p}} \cdot H \cdot \Delta p_{\text{p}} \cdot (1 - \cos \varphi_{\text{p}}), \quad \varphi_{\text{p}} \equiv \varphi + \bar{\varphi}_{\text{p}} \cdot \sin \varphi; \quad (7)$$

$$A_{\Pi} = \int_0^{2\pi} M_{\Sigma} \cdot d\varphi = \int_0^{2\pi} (M_H - M_B) \cdot d\varphi, \quad A_{CP} = A_{\Pi} / 2\pi, \quad N = A_{CP} / t_{\Pi}, \quad (8)$$

$$\eta_t = (T_t - T_x)/T_t, \quad \eta_{\Pi} = (Q_{TO} - Q_{xo})/Q_{TO}, \quad \eta_{\Pi} = A/Q_{TO}. \quad (9)$$

В формулах предусмотрен расчет КПД цикла η_{Π} по количеству тепла и по работе цикла для проверки достоверности математического описания.

ММ термодинамической и тепловой подсистемы показана на рисунке 4 в форме двух универсальных расчетных блоков с верbalным описанием алгоритмов выполнения основных расчетных процедур применительно к одной из рабочих полостей РПДС

Блок 1

Расчет процесса сжатия-расширения газа в полости

при $m=const$ с учетом теплообмена

1. Определяем новое значение угла поворота поршня $\phi_K = \phi_H + \Delta\phi$.
2. Определяем объем полости V_K и отношение объемов $\varepsilon = V_K / V_H$.
3. Определяем конечные параметры газа в полости через время Δt
 $p_K = p_H \cdot \varepsilon^k, \quad T_K = T_H \cdot \varepsilon^{k-1}, \quad U_K = (mRT_K) / (k - 1).$
4. Корректируем конечные параметры за счет учета теплообмена
 $T_{CP} = 0.5 \cdot (T_H + T_K), \quad q_{TO} = K_{TO} \cdot F_{TO} \cdot (T_{TO} - T_{CP}), \quad K_{TO} = 0.021 \cdot Re^{0.8},$
 $U_{KK} = U_K + q_{TO} \cdot \Delta t, \quad T_{KK} = [U_{KK}(k - 1)] / (mR), \quad p_{KK} = (mRT_{KK}) / V_K.$
5. Используем скорректированные значения параметров в качестве начальных для следующего шага интегрирования (переход к п.1).

Блок 2

Расчет процесса объединения и разделения полостей

1. Определяем массы и энергию газа в анализируемых полостях 1 и 2.
 $m_{1(2)} = (p_{1(2)}V_{1(2)}) / (RT_{1(2)}), \quad U_{1(2)} = (m_{1(2)}RT_{1(2)}) / (k - 1).$
2. Определяем результирующие объемы, массы и энергию газа
 $V_{\Sigma} = V_1 \pm V_2, \quad m_{\Sigma} = m_1 \pm m_2, \quad U_{\Sigma} = U_1 \pm U_2.$
3. Определяем температуру и давление в анализируемой полости
 $T_{\Sigma} = [U_{\Sigma}(k - 1)] / (m_{\Sigma}R), \quad p_{\Sigma} = (m_{\Sigma}RT_{\Sigma}) / V_{\Sigma}.$
4. Используем рассчитанные значения параметров в качестве начальных для следующего шага интегрирования.

Рисунок 4 – Алгоритмические модели процессов в полостях РПДС

В блоке 1 первом шаге определяется текущее значение угла поворота поршня. На шаге 2, с использованием зависимостей (1) – (5), рассчитывается текущий объем конкретной полости и вычисляется отношение объемов ε за шаг интегрирования $\Delta\phi$. На шаге 3 используются зависимости для расчета адиабатического изменения состояния газа. Полученные значения давления и температуры корректируются на шаге 4 за счет учета влияния теплового потока q_{TO} на внутреннюю энергию газа. Формула Михеева М.А. [7] для расчета коэффициента теплоотдачи K_{TO} приведена на рисунке 4 в упрощенном виде. Перед реализацией шага 5 в программе организован внутренний итерационный цикл по согласованию скорректированных термодинамических параметров с потоком тепловой энергии q_{TO} , который зависит от разности температур между теплообменником Тто и средним значением температуры в полости Тср на данном шаге интегрирования.

Блок 2 базируется на законах сохранения массы и энергии при коммутации полостей, которые замыкаются термическим и калорическим уравнением состояния идеального газа. В дополнительных комментариях он не нуждается.

Математическое обеспечение включает как ММ, так и алгоритм для решения системы уравнений, образующих ММ. В основе компьютерной программы лежит алгоритм, представленный на рисунке 5. Он предполагает *последовательное* численное интегрирование уравнений для каждой из полостей (хотя процессы в полостях происходят *одновременно*), начиная с полости сжатия ВС (см. рисунки 1 и 2). В результате выполнения блоков 4 – 6 определяются «новые» параметры газа в полости сжатия ВС. Если они не совпадают с начальным приближением, то выполняется их корректировка в блоке 10, а потом цикл повторяется, начиная с блока 4. Это так называемый «метод установления» по терминологии, применяемой в вычислительной математике. После завершения итераций рассчитываются характеристики двигателя по формулам (6) – (9).

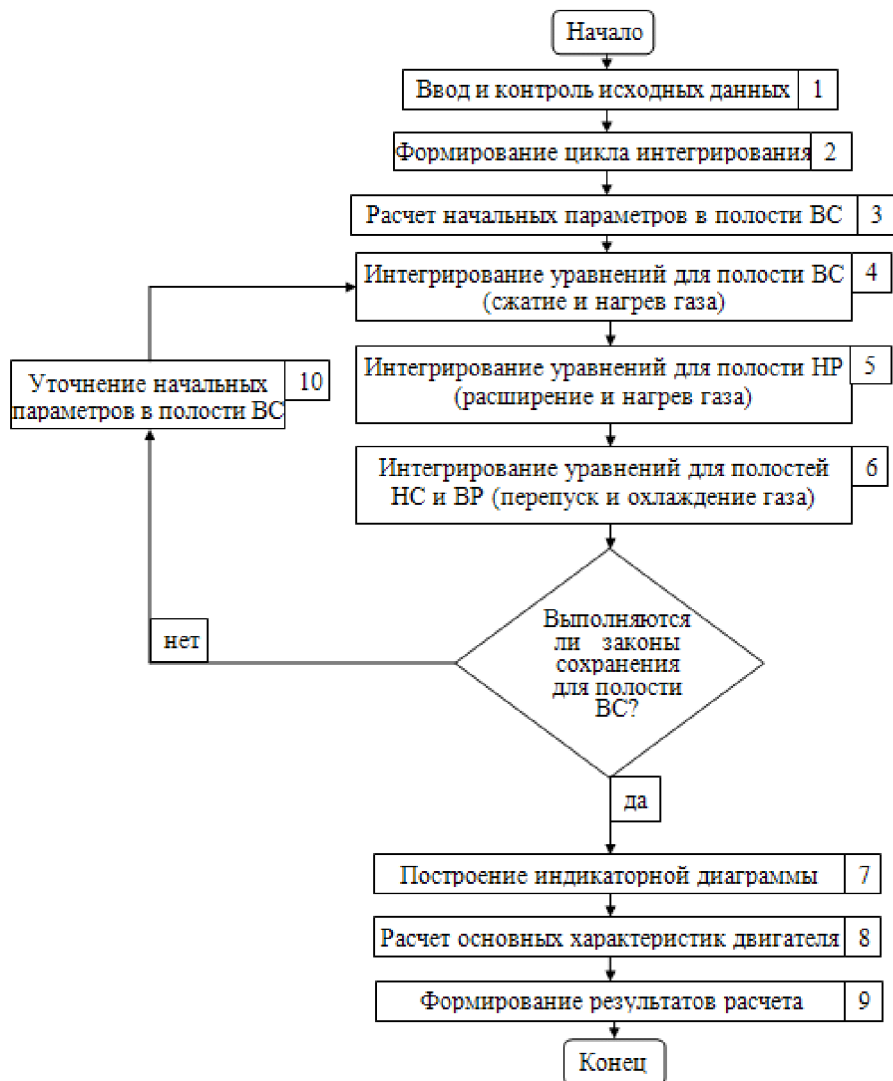


Рисунок 5 – Блок-схема алгоритма расчета РПДС

На основе изложенного математического обеспечения в среде МАТЛАБ разработана программа «Анализ РПДС», которая принята в фонд алгоритмов и программ РФ [10]. На рисунке 6 показано ее главное меню и фрагменты информационного обеспечения. В этой программе имеется возможность сохранять результаты в архиве проектов, редактировать их и использовать для формирования новых проектов. Можно использовать в расчетах около 10 рабочих тел (база данных газов может расширяться). По желанию пользователя могут быть выданы таблицы Excel с подробными результатами и до 7 графиков.

На рисунке 7 показаны типовые графики, которые используются в процессе анализа. На них показаны изменения определенного параметра для каждой из рабочих полостей. Графики масс газа в полостях носят контрольный характер, они используются не всегда.

В процессе анализа на ЭВМ сущности физических процессов в РПДС была выявлена возможность более рационального использования энергии, которая поступает в двигатель от теплообменника ТО. Замечено, что температура и давление газа в рабочей полости НР при увеличении ее объема уменьшаются довольно резко. Поэтому рационально на конечном этапе расширения газа в ней прекратить доступ тепловой энергии из ТО, переключив ТО на полость ВС, в которой происходит одновременное сжатие газа для следующего цикла работы. Это позволит накопить больше энергии для нового цикла, а более низкая температура газа в полости НР в конце цикла улучшит условия работы холодильника. Такой переключатель реализован в доработанной конструкции двигателя, что позволило улучшить характеристики РПДС.

Момент переключения ТО с полости НР на полость ВС регулируем. В примере пере-

Раздел 1. Наземные транспортные средства, энергетические установки и двигатели.

ключение ТО происходит при 210° , что хорошо видно на графиках: объем ТО «переходит» от НР к ВС, то же происходит с массой газа. Это заметно и на графиках температур. Пользователь может визуализировать значения параметров в любых точках (см. рисунок 7).

Главное меню

Исходные данные	
Параметры РДС	Параметры ТО
Используемый газ:	Воздух
Длина корпуса (м):	0.08
Радиус корпуса (м):	0.065
Наруж. радиус поршня (м):	0.0515
Внутр. радиус поршня (м):	0.0435
Радиус статора (м):	0.030
Эксцентрикитет (м):	0.0135
Угол сдвиг фаз полостей (град):	30
Скорость вращения РДС (об/мин):	1500
Нач. давление ВС (МПа):	0.311891
Нач. температура ВС (К):	337.167
Сечение клапана (10^{-4} м^2):	0.785
Базовые значения параметров	
Объем (м^3):	395.2752
Давление (МПа):	1
Результаты расчета	
Работа за цикл (Дж):	68.5632
Средний момент за цикл:	10.9122
Мощность двигателя (Вт):	1714.0793
Тепло, полученное от ТО (Дж):	193.0908
Тепло, отданное ХО (Дж):	-127.8058
Тепло, полученное ВС (Дж):	93.6598
Тепло, полученное НР (Дж):	99.431

Графики	
<input checked="" type="checkbox"/> Объем	<input checked="" type="checkbox"/> Температура
<input checked="" type="checkbox"/> Давление	<input type="checkbox"/> Момент
<input checked="" type="checkbox"/> Масса	<input type="checkbox"/> Работа
<input type="checkbox"/> Циклограмма	
Шаг печати (град): 7 Построить	

Сохранение

-
-
-

Открытие

-
-

Расчет успешно завершен.

База данных по газам (фрагмент)

A	B	C	D	E	F	G	H
Газ	K	R	Mr	Теплопроводность, $\lambda \cdot 10^{-3}$	Вязкость, $\eta \cdot 10^6$	п _к	п _п
1							
2	Азот	1,4	296,9	28	26,2	18,6	0,7
3	Воздух	1,4	287,1	28,96	26,2	18,6	0,7
4	Гелий	1,667	2077	4,003	156	20,2	0,7
5	Ксенон	1,667	63,32	131,3	5,88	23,5	0,86
6	Метан	1,25	518,265	16,042	33,2	13,33	1,4
7	Неон	1,667	411,93	20,183	49,08	31,75	0,67
8	Аргон	1,667	208,12	39,948	18,09	22,75	0,75
9	N2+Ne	1,5335	354,265	24,09	37,5	25,18	0,685
10	N2+Ar	1,5335	244,53	34	22,15	20,675	0,725
11	Водород	1,37	4157	2	183	8,96	0,75
12	CO2	1,25	188,91	44,011	25	26,38	0,76

Архив проектов (фрагмент)

архив	←	→	↑	↓	☰
<ul style="list-style-type: none"> <input type="checkbox"/> Вар-6(надо шаг_много итераций) <input type="checkbox"/> ВарN(2009-12-30 оптим-3) <input type="checkbox"/> Вар-7(баз_p=0.37 от 16-12-09) <input type="checkbox"/> ВарN(2009-12-30 оптим) <input type="checkbox"/> Вар-1 (2009-12-09 утром) <input type="checkbox"/> ВарN(2009-12-30 гелей) <input type="checkbox"/> Вар-2 (2009-12-09 вечером) <input type="checkbox"/> ВарN+1(2009-12-30 N2+Ar) <input type="checkbox"/> Вар-3 (09-12-09 22,44_Баз_L=0.08) <input type="checkbox"/> ВарN+1(2009-12-30 воздух) <input type="checkbox"/> Вар-8 (баз_копия_16-12-09) <input type="checkbox"/> ВарX+1 (2009-12-30 оптим) <input type="checkbox"/> Вар-10(2009-12-19 баз_нов) <input type="checkbox"/> мой проект 					

Рисунок 6 – Интерфейс программы «Анализ РПДС»

The figure consists of four subplots arranged in a 2x2 grid, each showing the variation of a parameter (Volume, Mass, or Temperature) across three cylinder chambers (ВС, НР, НСВР) over a cycle from 0 to 400 degrees.

- Top Left (Volume):** Shows the volume of each chamber. The Y-axis ranges from 0 to 1.5. The curves show a transition from НР (high volume) to ВС (low volume) and back to НР. A specific point is highlighted at X: 61, Y: 0.6309.
- Top Right (Mass):** Shows the mass of each chamber. The Y-axis ranges from 0.6 to 1.5. The curves remain relatively constant, with a small peak at approximately X: 166, Y: 0.0006053.
- Bottom Left (Temperature):** Shows the temperature of each chamber. The Y-axis ranges from 300 to 1000. The curves show a significant drop from НР to ВС and a subsequent rise.
- Bottom Right (Pressure):** Shows the pressure of each chamber. The Y-axis ranges from 300 to 1000. The curves show a sharp drop from НР to ВС and a subsequent rise.

Рисунок 7 – Графики изменения параметров в полостях РПДС

На рисунке 8 показаны результаты многовариантного компьютерного анализа влияния

316 Известия МГТУ «МАМИ» № 2(14), 2012, т. 1

Раздел 1. Наземные транспортные средства, энергетические установки и двигатели.
конструктивных и эксплуатационных параметров двигателя на его основные характеристики: мощность N , вращающий момент M и коэффициент полезного действия η .

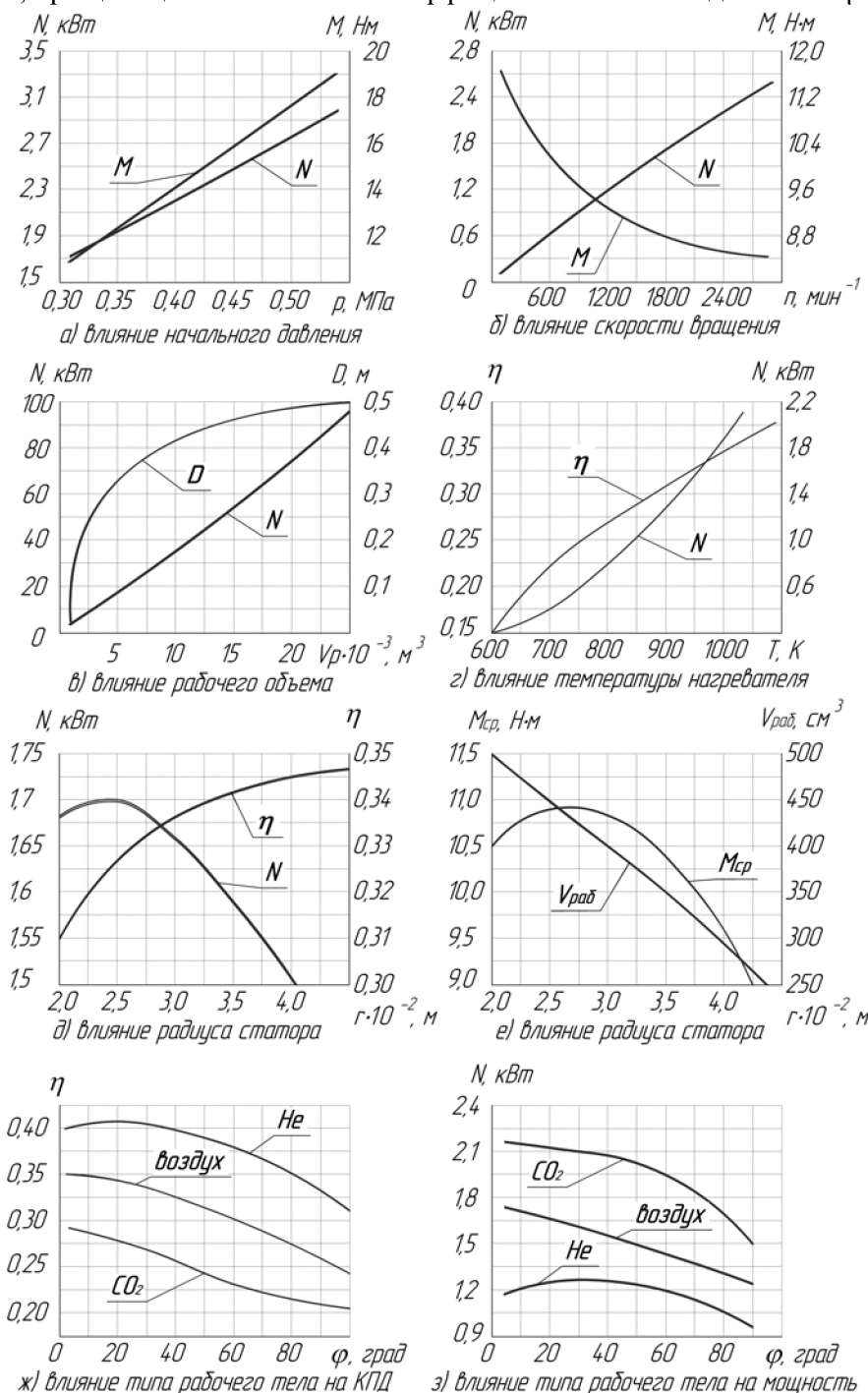


Рисунок 8 – Результаты компьютерного анализа

Из рисунка 8 следует, что мощность можно регулировать изменением начального давления в полости ВС (рисунок 8а) и угла фазового сдвига ϕ (рисунок 8з), двигатель работоспособен при различных температурах нагревателя (рисунок 8г). Исследование влияния геометрических размеров РПДС показало, что имеется возможность их оптимизации (рисунок 8д и 8е), что реализовано в конструкции. Вариации типа рабочего тела показали, что его влияние на характеристики РПДС является противоречивым: КПД выше для одноатомных газов, а мощность – для многоатомных. Это объясняется различием их показателя адиабаты. Перспективно использование смесей газов. Результаты исследований хорошо согласуются с экспериментальными данными, приведенными в работах [1, 2].

По результатам компьютерного моделирования разработан вариант конструкции РПДС (рисунок 9), по чертежам которой изготовлен его опытный образец.

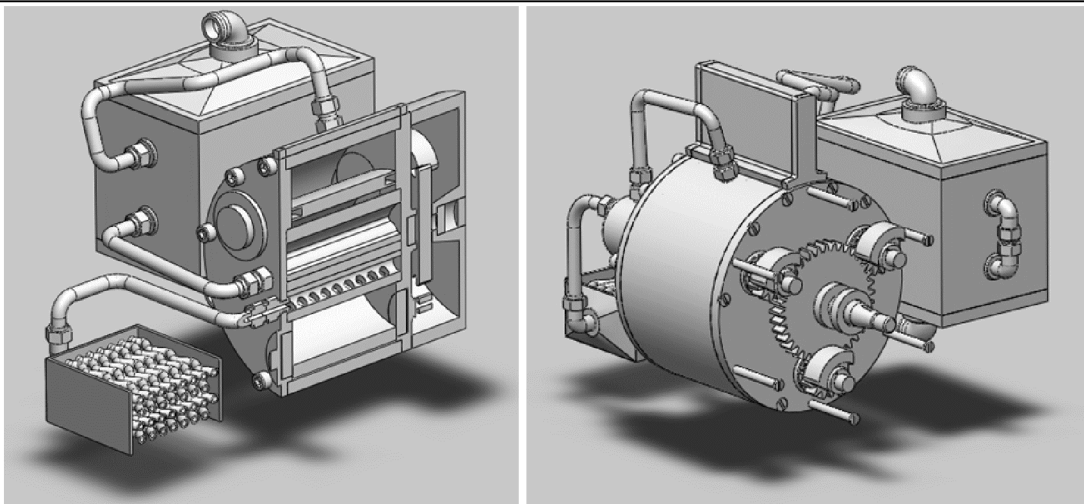


Рисунок 9 – 3D-модель двигателя

Таким образом, в соответствии с методологией компьютерного моделирования разработаны математическая модель РПДС и алгоритм ее решения, изучена сущность физических процессов, происходящих при функционировании двигателя, выполнен многовариантный анализ влияния изменения конструктивных и эксплуатационных параметров РПДС на его характеристики, определены рациональные параметры, которые использованы для разработки конструкции и изготовления РПДС. Готовятся испытания двигателя, по результатам которых будет принято решение о направлении дальнейших исследований, в том числе по доработке конструкции и компьютерной модели.

Литература

1. Уокер Г. Двигатели Стирлинга / Пер. с англ. Б. В. Сутугина и Н. В. Сутугина. - М.: Машиностроение, 1985. - 408 с.
2. Ридер Г., Хупер Ч. Двигатели Стирлинга – М.: Мир, 1986. - 464 с.
3. Компьютеры, модели, вычислительный эксперимент. Введение в информатику с позиций математического моделирования /Под ред. А. А. Самарского.– М.: Наука, 1988.- 176 с.
4. Самарский А.А., Михайлов А.П. Математическое моделирование: Идеи. Методы. Примеры. - М.: Наука, 2003. - 320 с.
5. Норенков И.П., Кузьмик П.К. Информационная поддержка научноемких изделий. CALS-технологии. - М.: МГТУ им. Н.Э. Баумана, 2002. - 320 с.
6. Математические модели систем пневмоавтоматики./ Ю.Л. Арзуманов, Е.М. Халатов, В.И. Чекмазов – М.: МГТУ им. Н.Э.Баумана. 2009. - 296 с.
7. Михеев М.А.Основы теплопередачи. - Изд. 2-е, заново переработ. - М.-Л.: Госэнергоиздат, 1949. - 396 с.
8. Никишин С.И., Потапов С.И. Роторно-поршневой двигатель Стирлинга. Основы теории, инженерный анализ и проектирование. - Ковров: КГТА, 2011 - 208с.
9. Колчин А.И., Демидов В.П. Расчет автомобильных и тракторных двигателей: Учебное пособие для вузов. - М.: Высшая школа, 2002. - 496 с.
10. Волгин М.А., Крылов И.А., Никишин С.И. Программа «Анализ характеристик роторно-поршневого двигателя Стирлинга» // М.: Хроники объединенного фонда электронных ресурсов «Наука и образование», № 5(24), 2011, № 17100, с. 17-18

Кинематический и силовой анализ универсального многопоточного дифференциального механизма автоматических коробок передач

Волошко В.В., к.т.н. Галимянов И.Д., Салахов И.И., к.т.н. Мавлеев И.Р.
ФГБОУ ВПО Камская государственная инженерно-экономическая академия (ИНЭКА)
ildarsz@rambler.ru, 8-917-273-98-93

Аннотация. Представлены структурная и кинематическая схемы, а также кон-